

Fig. 1

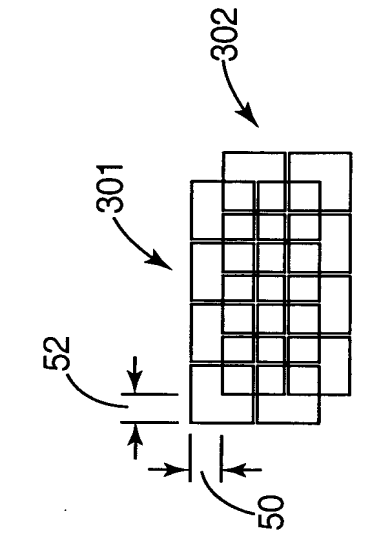


Fig. 2C

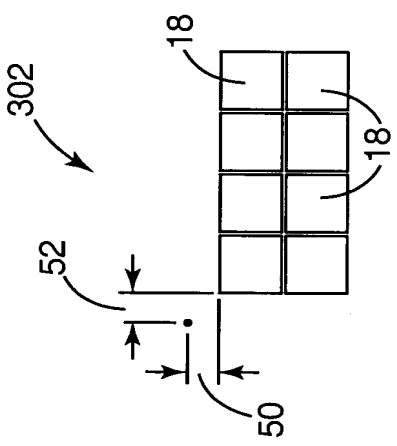


Fig. 2B

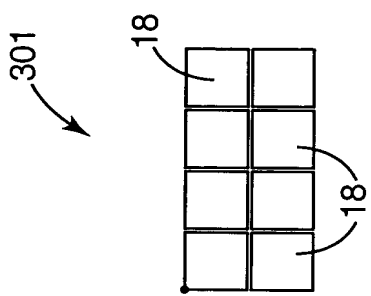


Fig. 2A

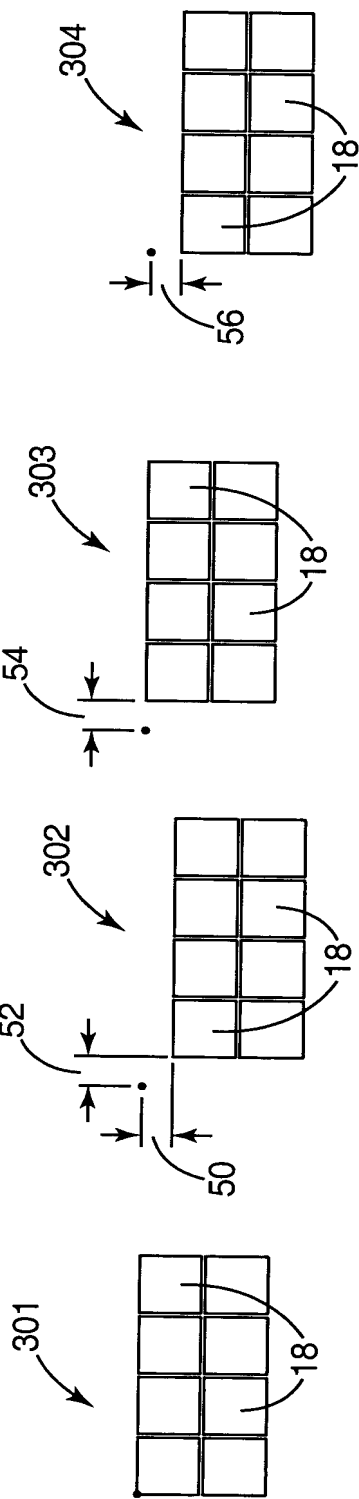


Fig. 3A

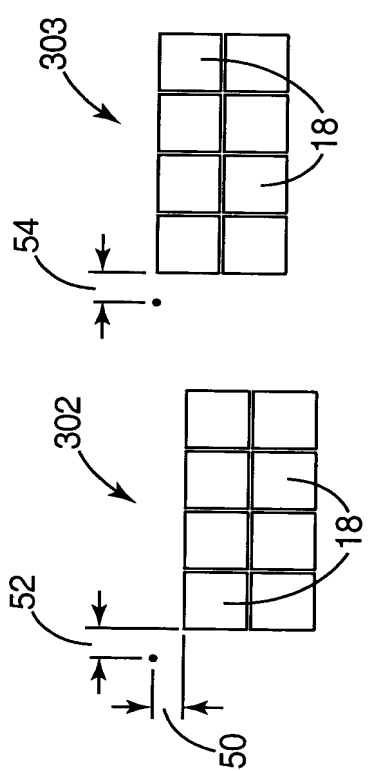


Fig. 3B

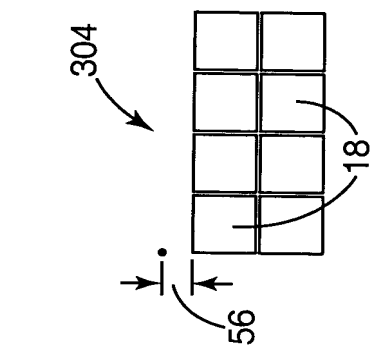


Fig. 3C

Fig. 3D

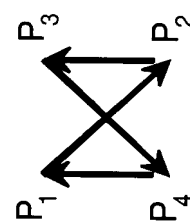


Fig. 3E

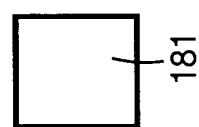
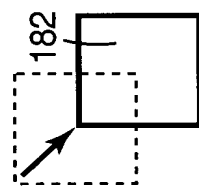
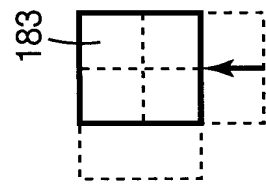
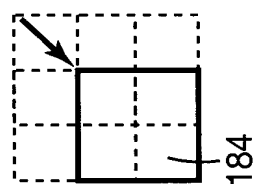
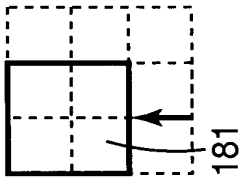


Fig. 4E

Fig. 4D

Fig. 4C

Fig. 4B

Fig. 4A

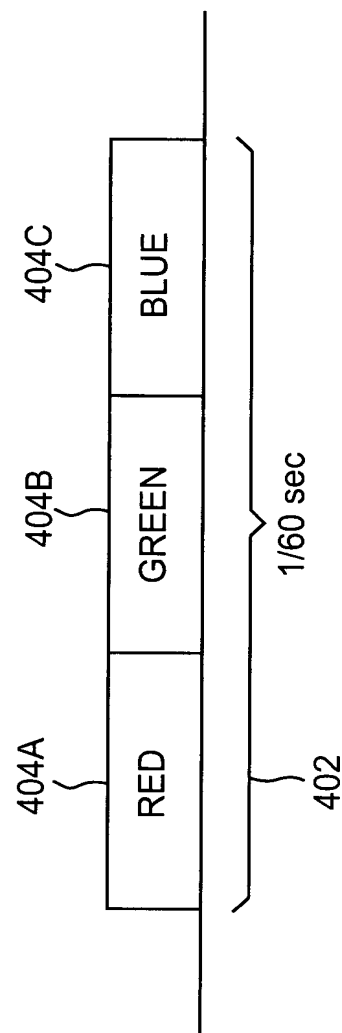


Fig. 5

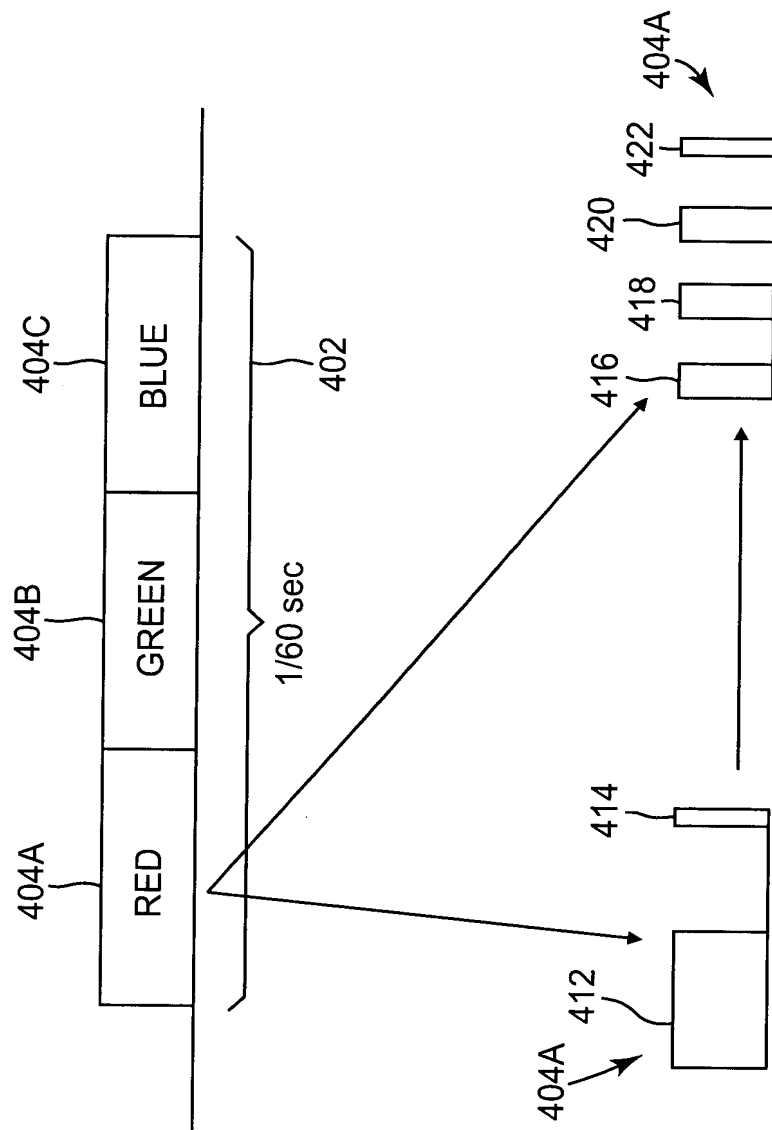


Fig. 6

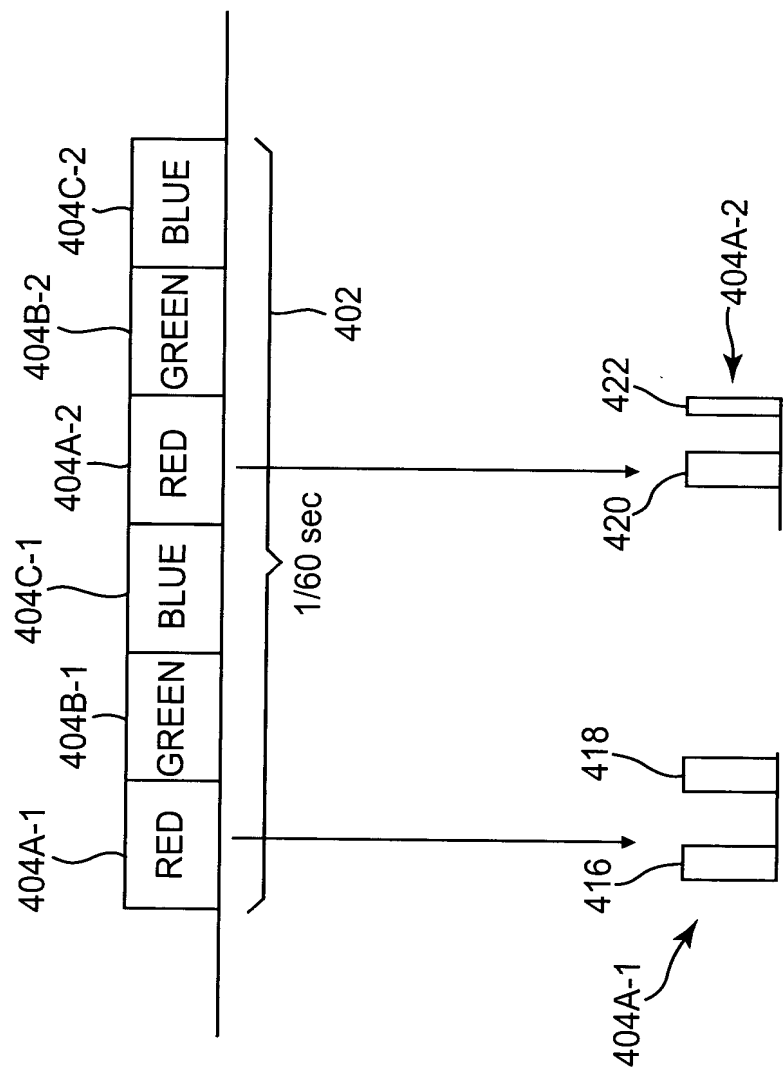


Fig. 7

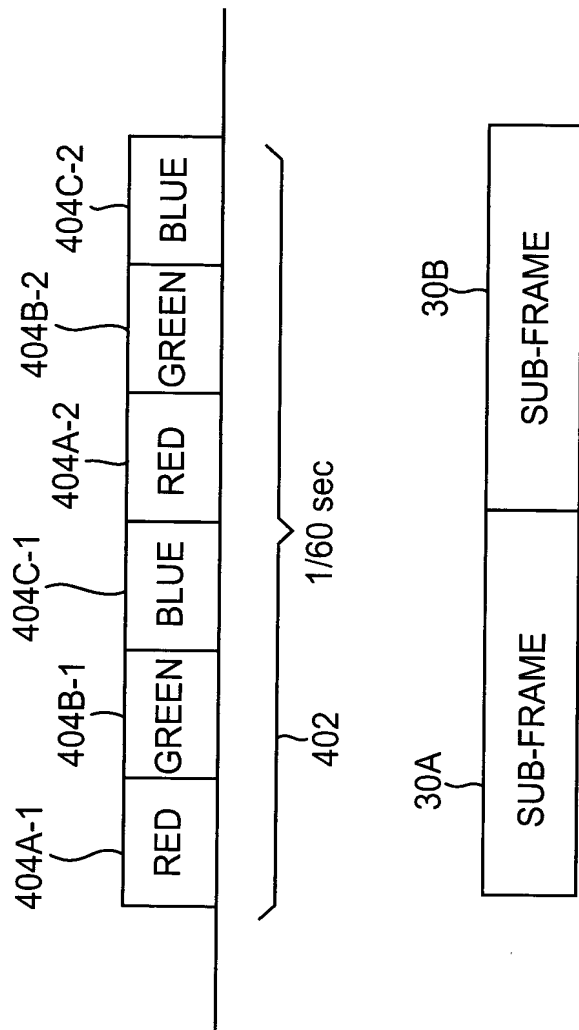


Fig. 8

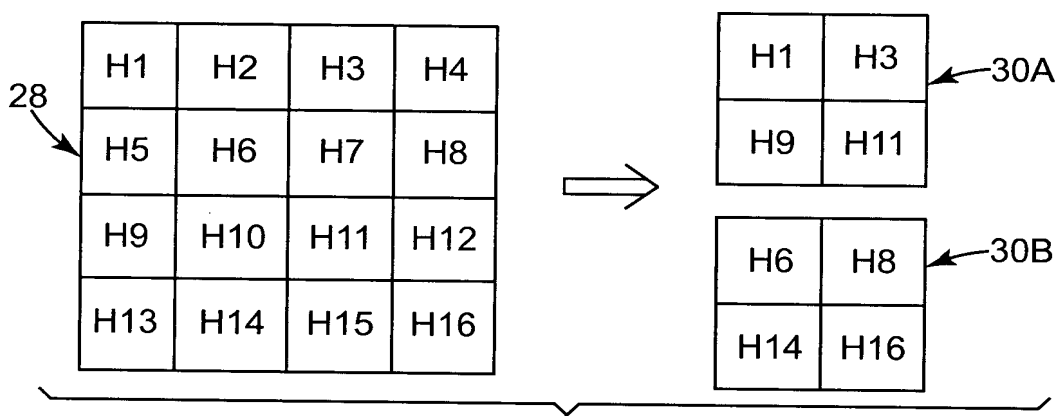


Fig. 9
(NEAREST NEIGHBOR)

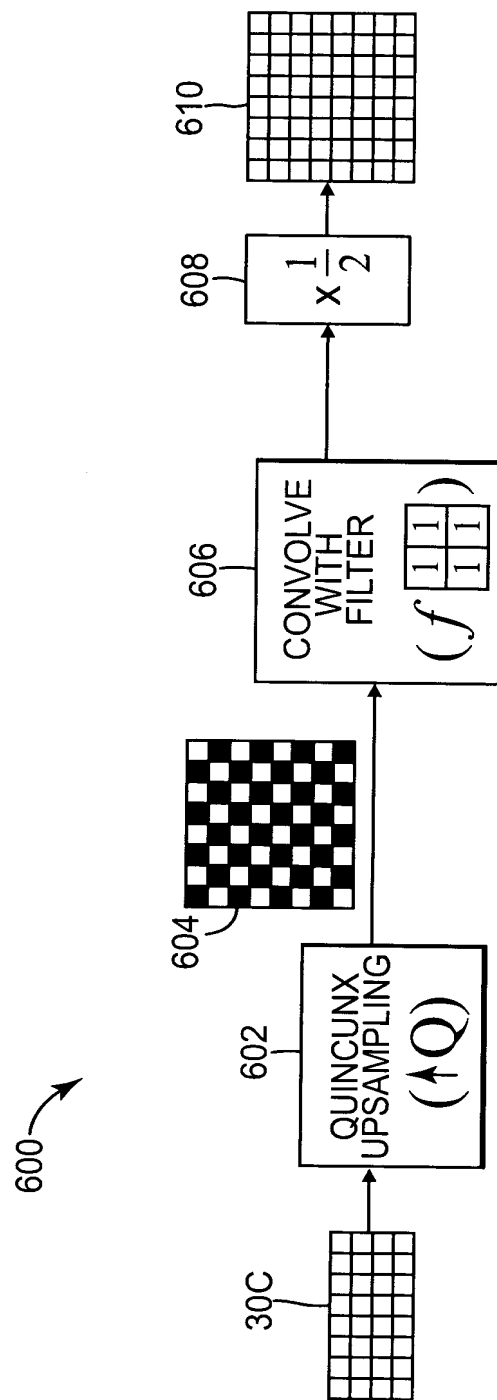


Fig. 10

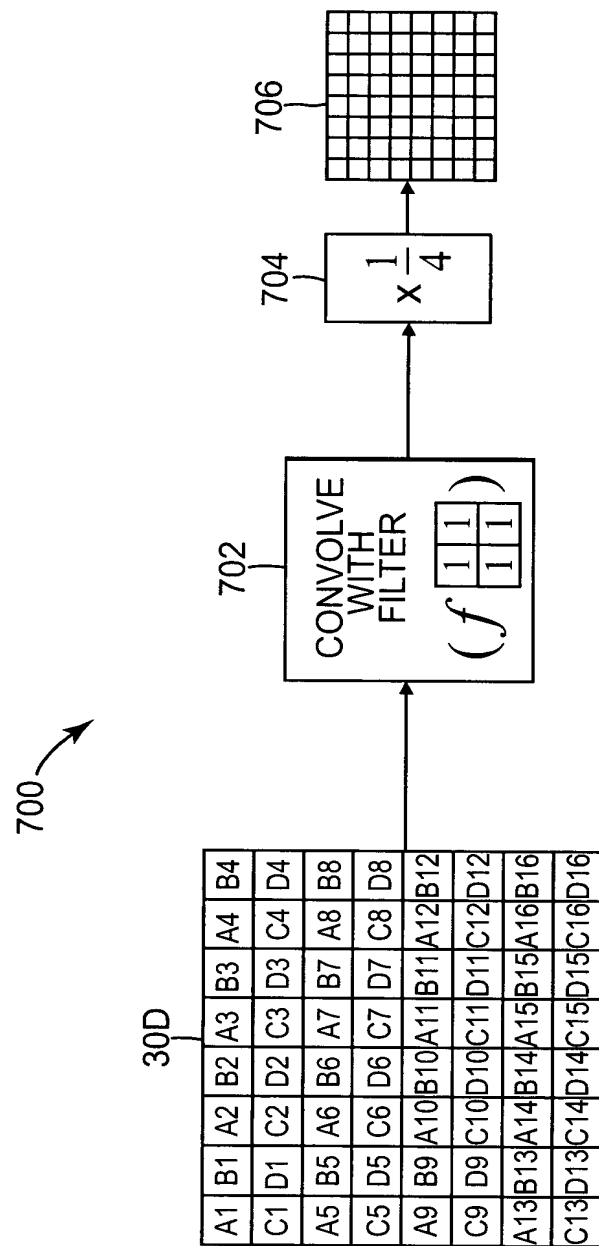


Fig. 11

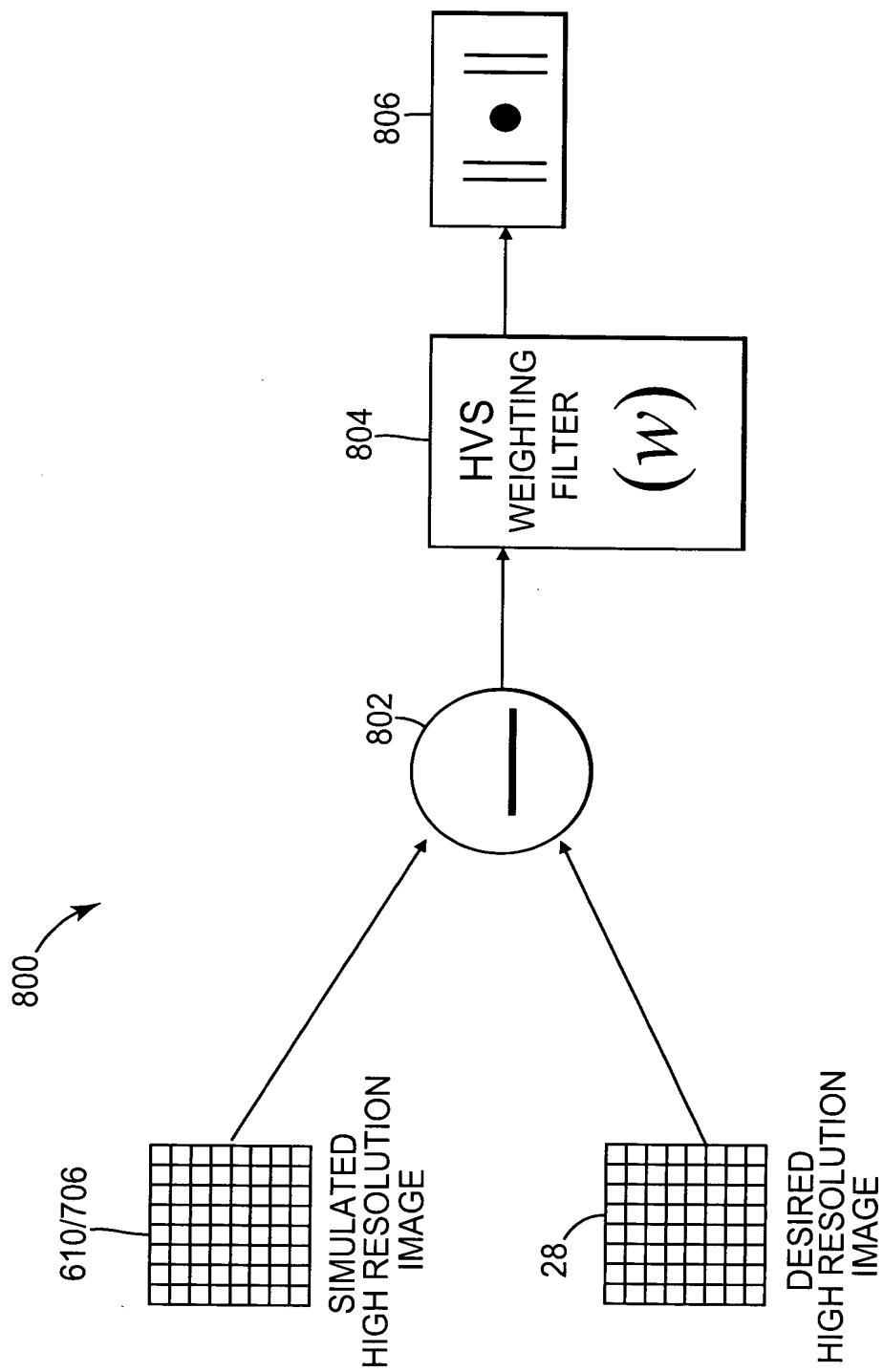


Fig. 12

APPLICANT: NIRANJAN DAMERA-VENKATA ET AL.

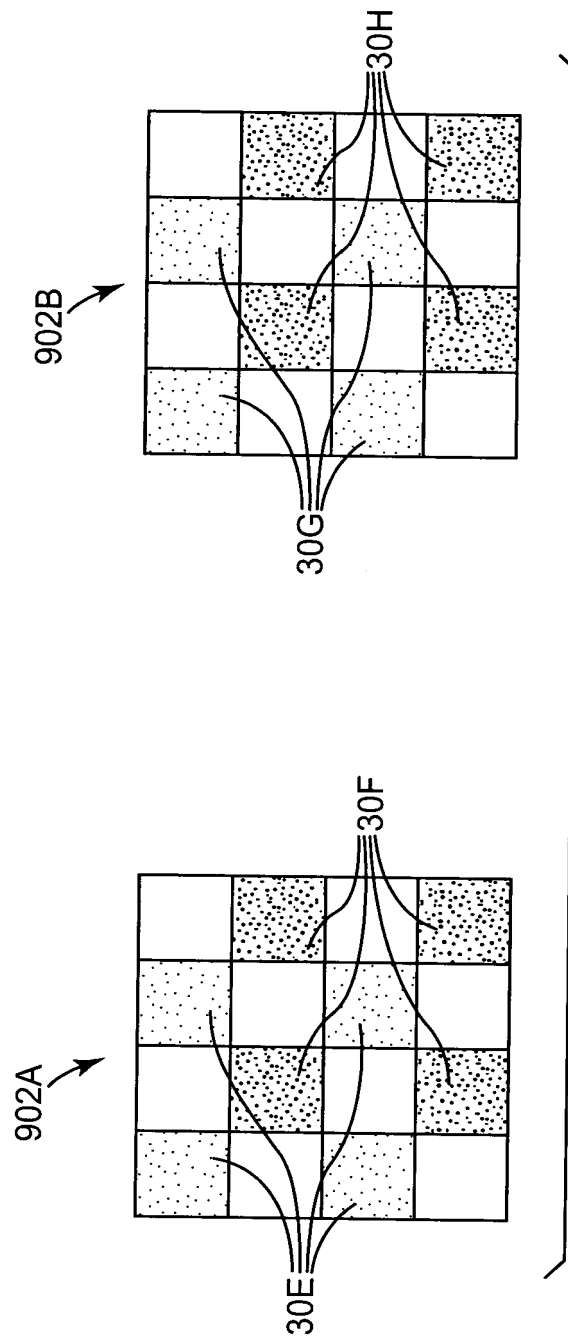


Fig. 13

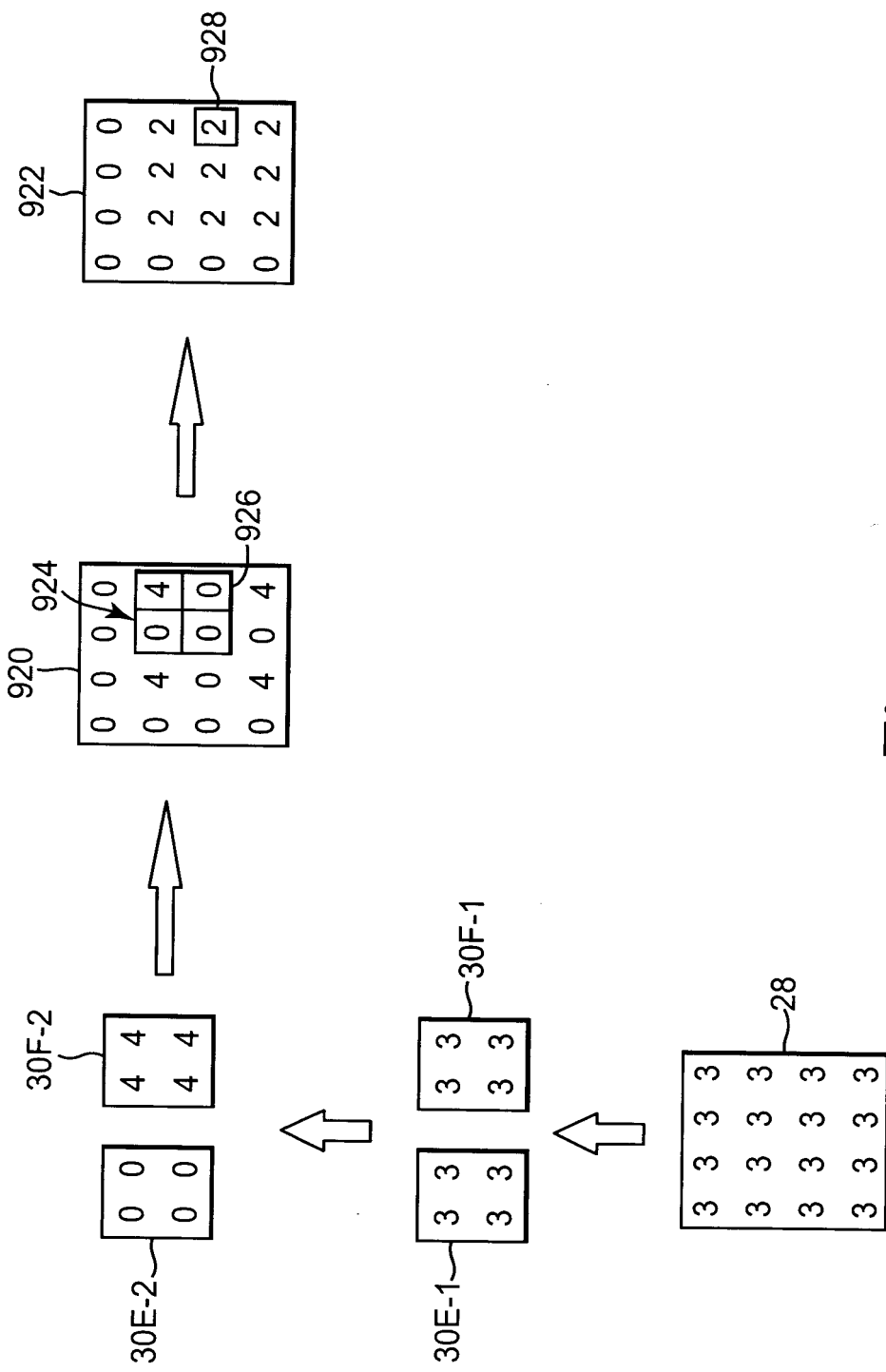


Fig. 14

APPLICANT: NIRANJAN DAMERA-VENKATA ET AL

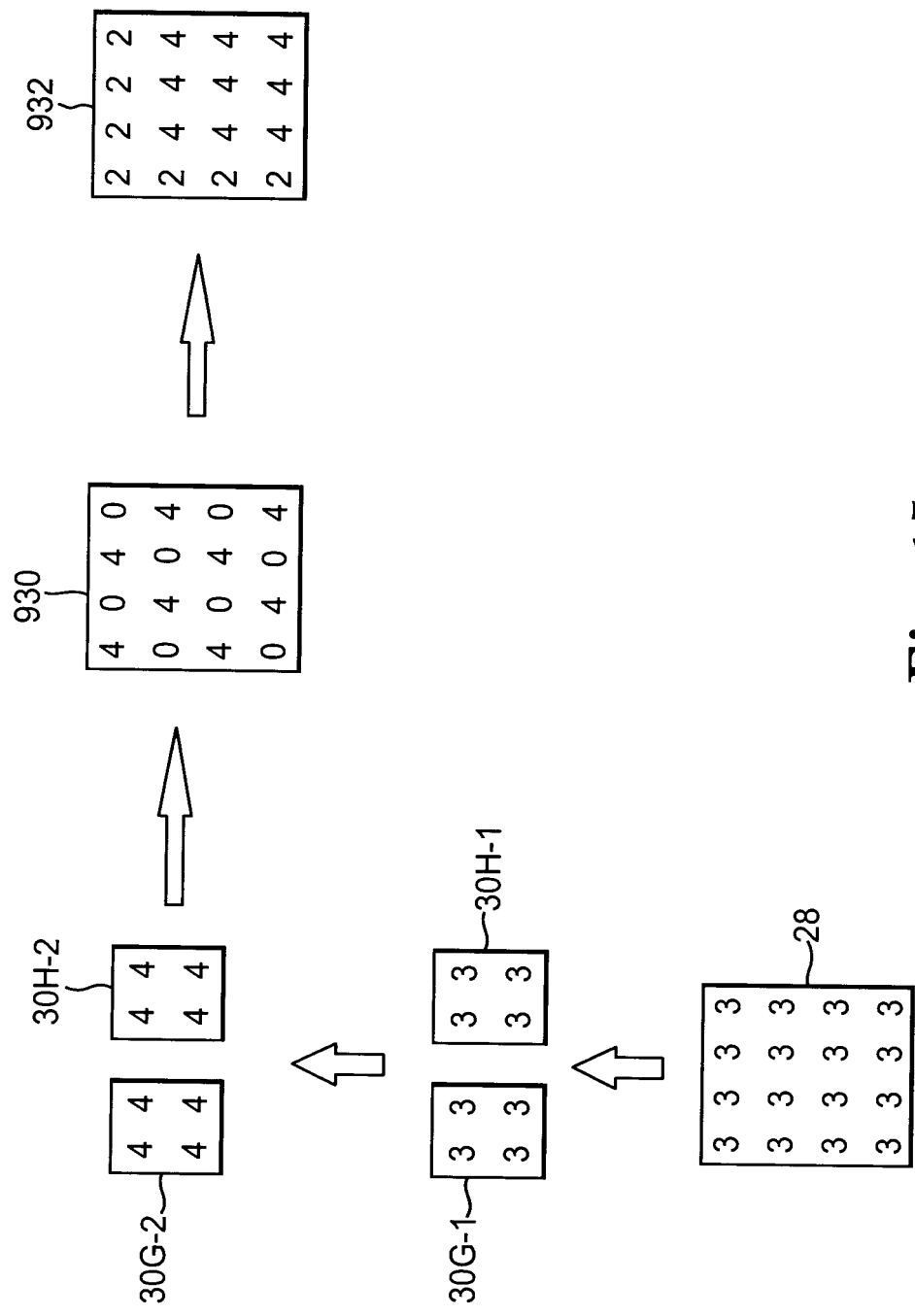


Fig. 15

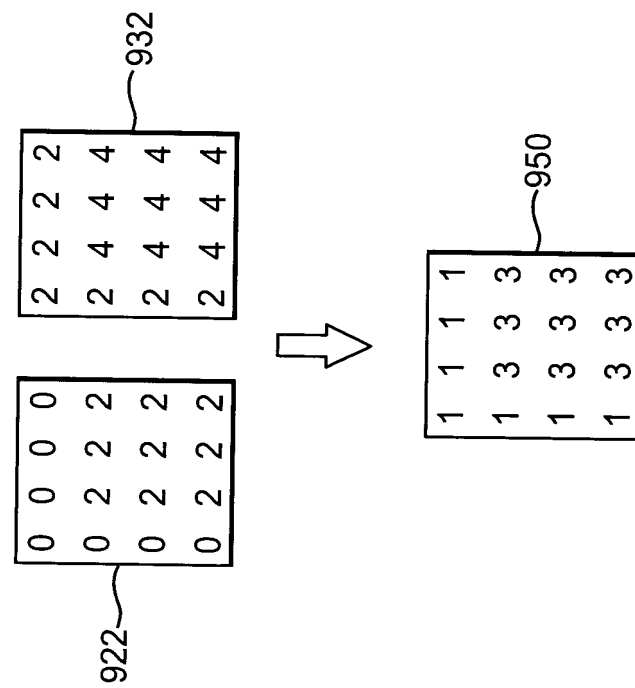
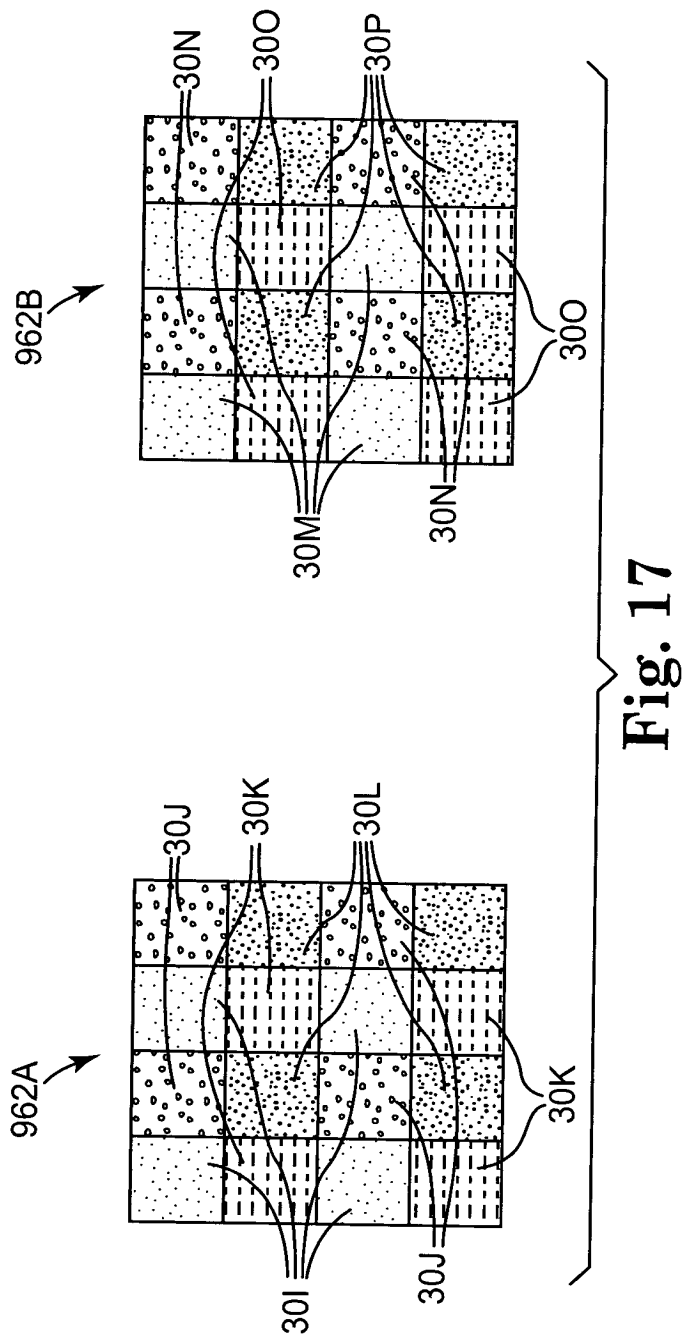


Fig. 16



APPLICANT: NIRANJAN DAMERA-VENKATA ET AL.

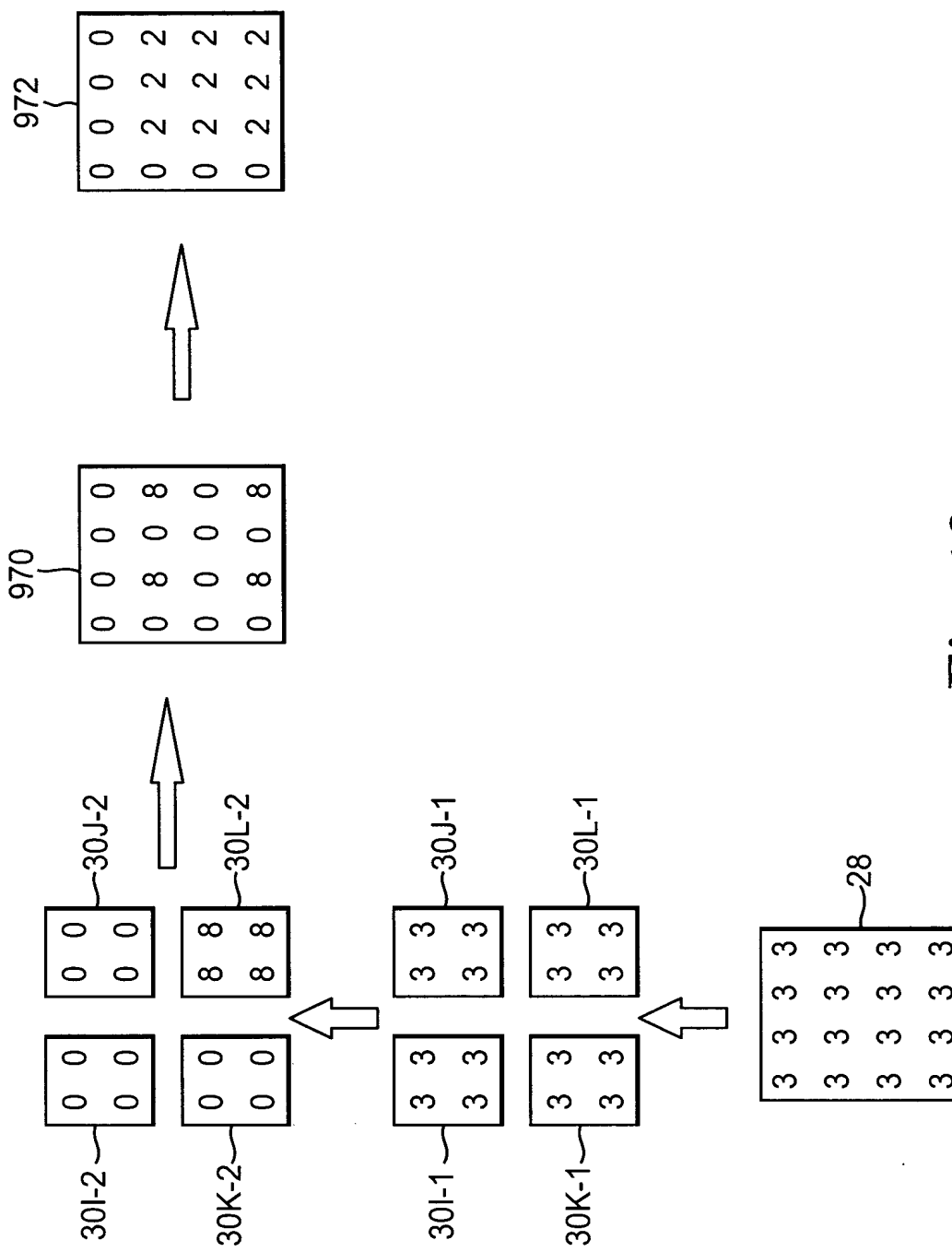


Fig. 18

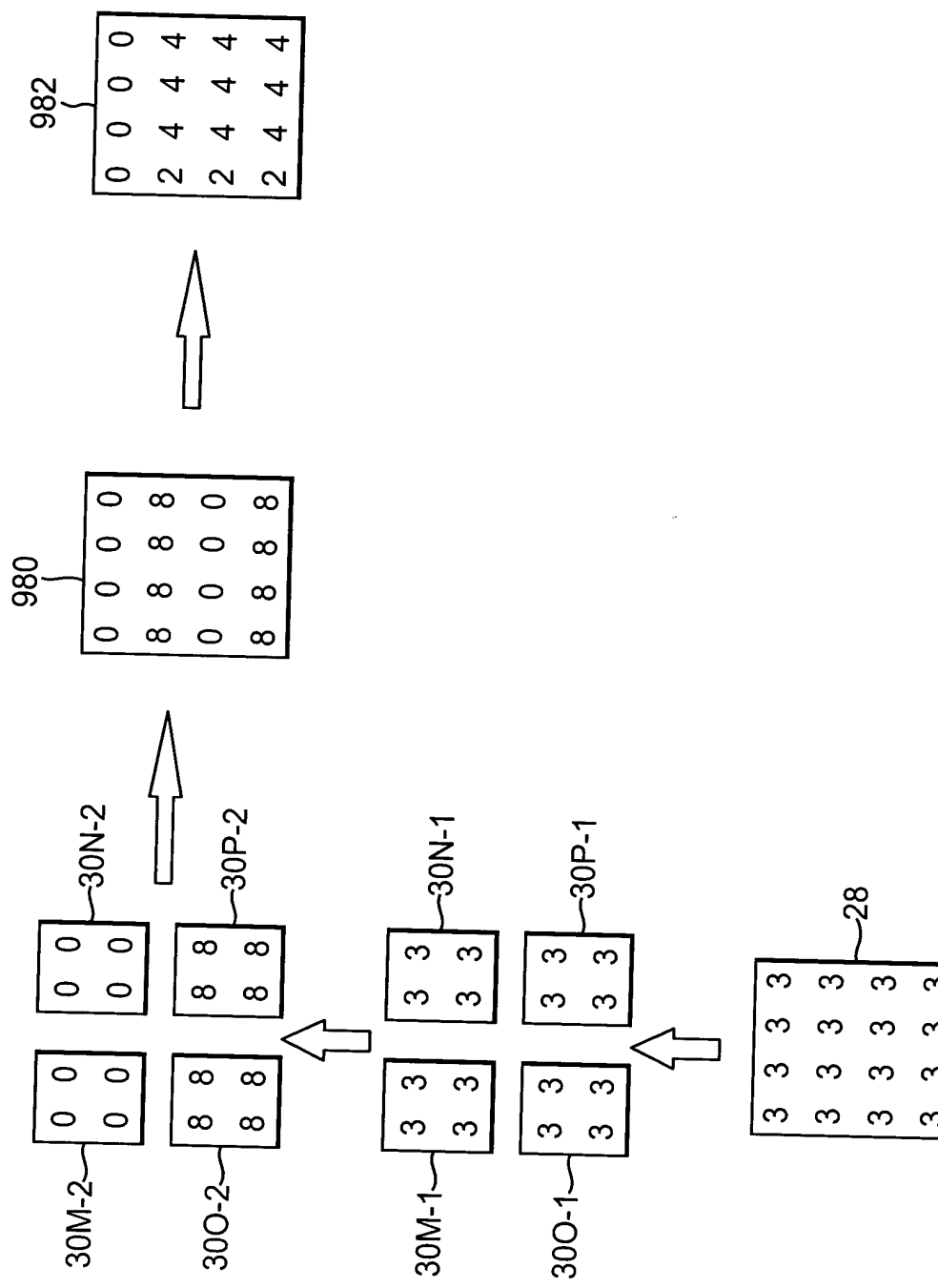


Fig. 19

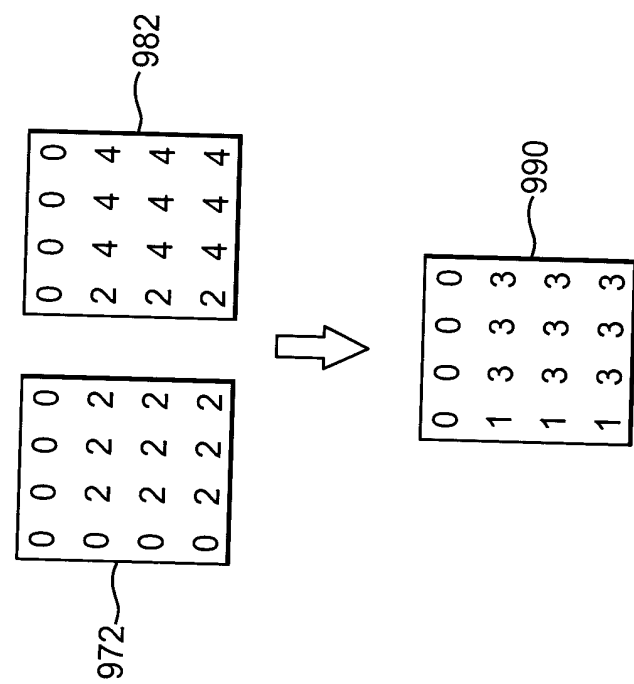


Fig. 20